
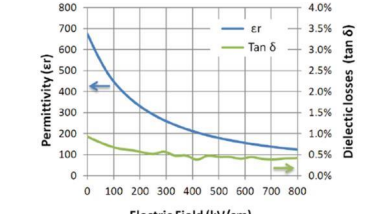

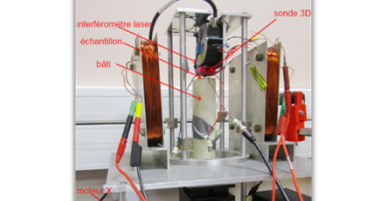

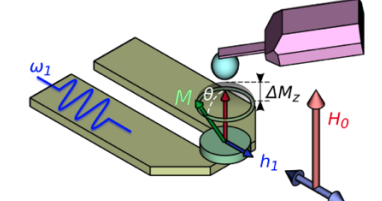
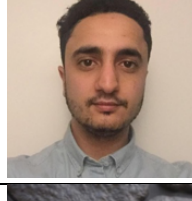
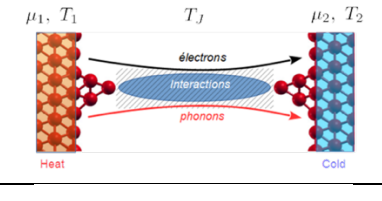
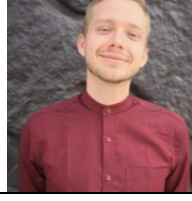
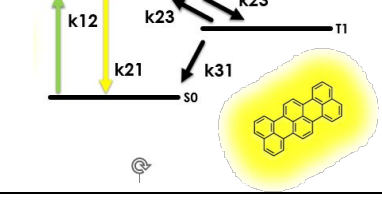





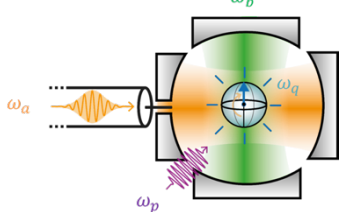

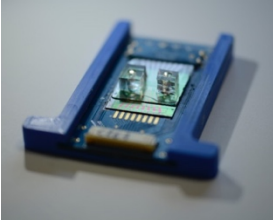

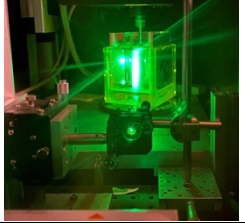


Programme Journée des Thèses

27 Juin 2022, Amphi Bloch

9h00 Introduction Patrice Roche


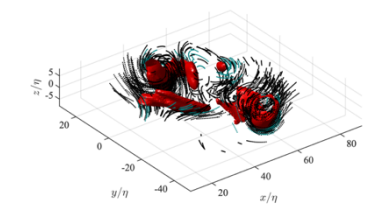
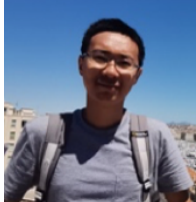
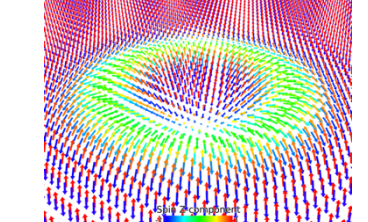



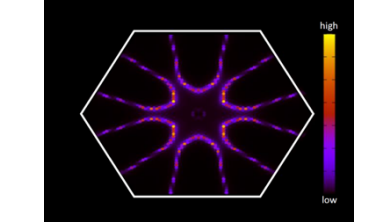

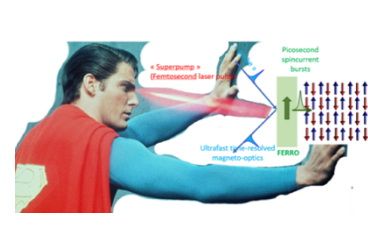

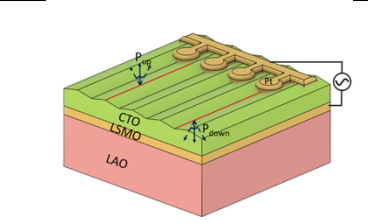
9h05-10h35

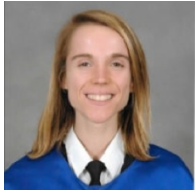
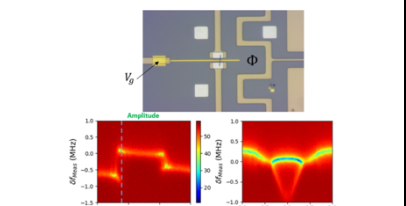

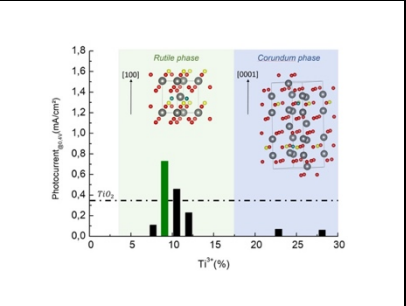
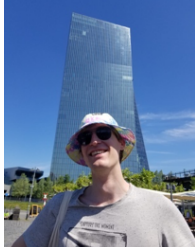
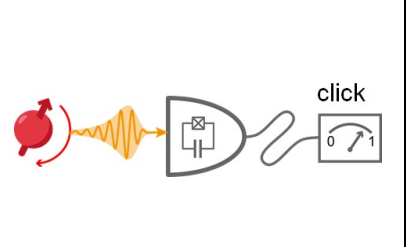


	<p>AGUDELO ESTRADA Santiago Chemistry and interface electronic structure in ferroelectric voltage-tunable capacitors for 5G applications</p> <p>1ère année, LENSIS</p>	
	<p>BENMESSAOUW Wanissa Cartographie locale de la réponse magnétique des matériaux en fréquence</p> <p>2ème année LNO</p>	
	<p>NGOUAGNIA Igor Dynamic instability in high power FMR of a BiYIG nanodisk</p> <p>3ème année, LNO</p>	
	<p>LAHRACHE Omar Quantum transport of coupled electron and phonon channels: ab initio simulations</p> <p>2ème année, GMT</p>	
	<p>TROJANOWICZ Remigiusz Influence of a nano-antenna on the intersystem crossing rate of organic single molecules</p> <p>2ème année, LEPO</p>	

	<p>NENCHEVA Denitsa L'IRM de très bas champ magnétique pour le bébé prématuré/Very low field MRI for preterm babies</p> <p>2ème année, LNO</p>	
	<p>BALEMBOIS Léo Single microwave photon detector with a noise equivalent power (NEP) of 10^{-22} W/vHz</p> <p>3ème année, GQ</p>	
	<p>DEROO Maïkane Innovative dynamic detection for early diagnosis with a lab-on-a-chip based on GMR sensors</p> <p>3ème année, LNO</p>	
	<p>FRANCISCO Enzo Boundary layers and dissipation measurements in free-surface and turbulent flows</p> <p>1ère année, SPHYNX</p>	
	<p>DZIK Eden Taking up the challenge of glass transition by optical manipulations of molecules</p> <p>2ème année, SPHYNX</p>	

10h35-11h00 : Pause café


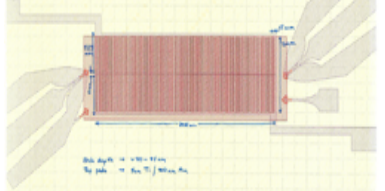

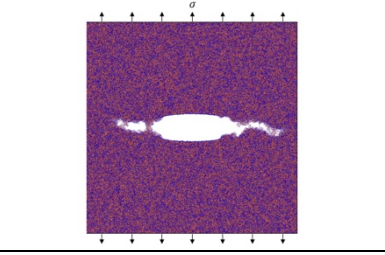

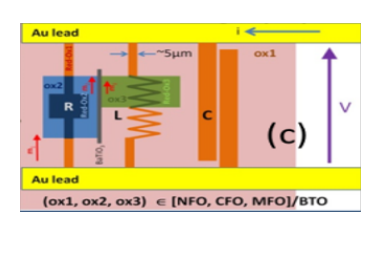

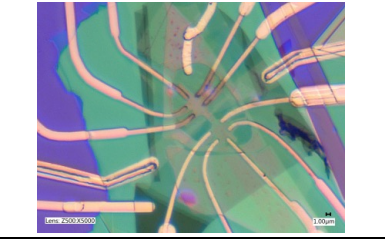

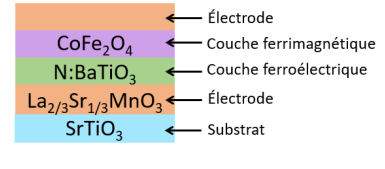

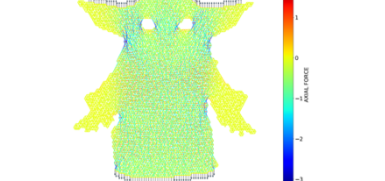
11h00-12h30


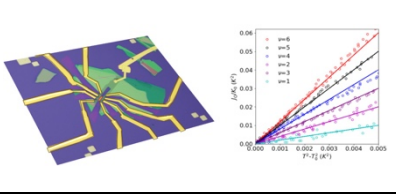
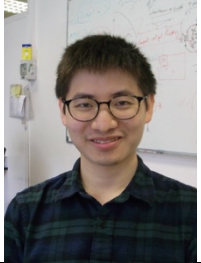
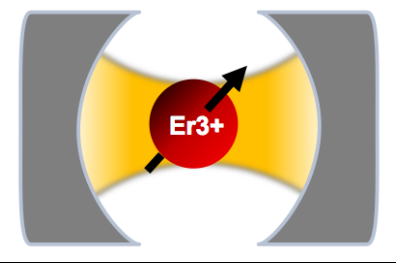
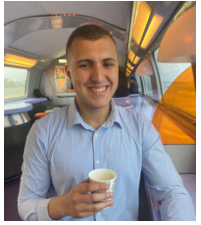
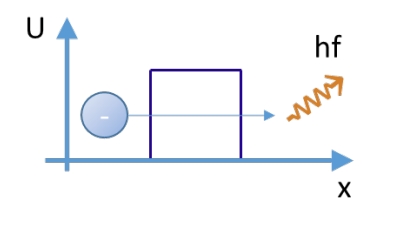

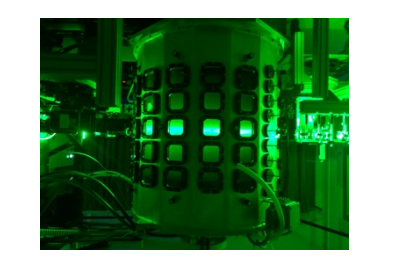
	<p>BARLET Antoine Irreversibility in turbulence : a flowmap approach 1ère année, SPHYNX</p>	
	<p>LI Zixin Antiferromagnetic skyrmion in multiferroic BiFeO3: stability, dynamics and nucleation 2ème année, LNO</p>	
	<p>ZHANG Xiaolong Modeling of pulsating heat pipes 3ème année, SPHYNX</p>	
	<p>LEZOUALC'H Mahe Charge Density Wave and Defects in 1T-VSe2 1ère année, GMT</p>	
	<p>RENE Sanjay Ultrafast pure spincurrent transport through antiferromagnetic insulators 1ère année, LNO</p>	
	<p>MAGAGNIN Grégoire Electromechanical control of ferroic domain walls 3ème année, LENSIS</p>	

	<p>BENITO Maria Probing Josephson Weak Links near pinch-off using microwave spectroscopy</p> <p>2ème année, GQ</p>	
	<p>DERJ Anissa Optimisation de photoanodes épitaxiées de TiO2 dopé N</p> <p>2ème année, LNO</p>	
	<p>BILLAUD Eric Détection de la fluorescence d'ions Erbium à l'aide d'un compteur de photon micro-onde</p> <p>3ème année, GQ</p>	
	<p>HADJERI Gabriel Lois d'échelle pour le transport de chaleur dans des modèles idéalisés d'océans et d'atmosphères</p> <p>1ère année, SPHYNX</p>	

12h30-14h00 : Pause déjeuner
Buffet
Election CLU




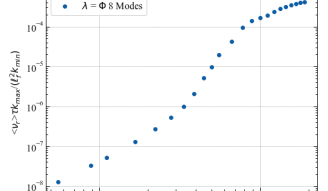

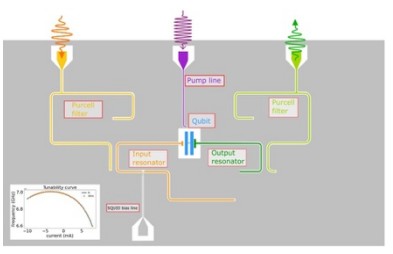



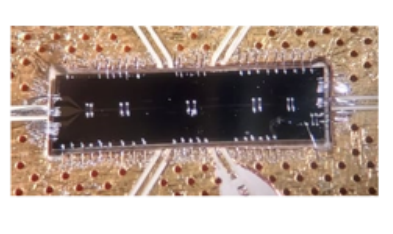
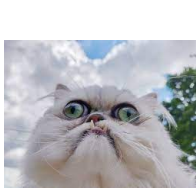
14h00-15h30

	<p>BOUDET Charles Capacitive single shot detector for electronic flying qubits</p> <p>1ère année, GNE</p>	
	<p>MAMA TOULOU Michel Molecular Dynamics Simulations of Fracture in Sodium Borosilicate Glasses</p> <p>3ème année, SPHYNX</p>	
	<p>LIN Haowen Realization and study of functional nanocircuits created by nanolithography on artificial multi-ferroic oxide heterostructures</p> <p>2ème année, LNO</p>	
	<p>BENICHOU Quentin Interférométrie électronique dans le graphène en régime d'effet Hall quantique fractionnaire</p> <p>1ère année, GNE</p>	
	<p>BLAESS Céline Films minces d'oxynitrides multiferroïques pour une opto-spintronique intégrée</p> <p>1ère année, LNO</p>	 <ul style="list-style-type: none"> ← Électrode ← CoFe_2O_4 ← Couche ferrimagnétique ← N:BaTiO_3 ← Couche ferroélectrique ← $\text{La}_{2/3}\text{Sr}_{1/3}\text{MnO}_3$ ← Électrode ← SrTiO_3 ← Substrat
	<p>MONTIEL Antoine Does disorder enhance material properties of a microstructured metamaterial?</p> <p>3ème année, SPHYNX</p>	

	<p>LE BRETON Gaëlle Heat transport in graphene in the quantum Hall regime</p> <p>3ème année, GNE</p>	
	<p>WANG Zhiren Single Spin Detection</p> <p>3ème année, GQ</p>	
	<p>GHAZOUANI GHARBI Oussama Photons anti-groupés grâce au principe d'exclusion de Pauli</p> <p>1ère année, GNE</p>	
	<p>GENESTE Damien Des événements extrêmes de dissipation aux événements extrêmes de dispersion, une empreinte de singularité ? approche expérimentale</p> <p>3ème année, SPHYNX</p>	

15h30-16h00 : Pause café

16h00-16h54

	<p>SETH Parras RF- Magnetotransport through a mesoscopic conductor</p> <p>2ème année, GNE</p>	
	<p>COSTA Guillaume Simulations of Reversible Navier-Stokes equation on logarithmic lattices</p> <p>1ère année, SPHYNX</p>	
	<p>PALLEGOIX Louis Un détecteur de photons micro-ondes uniques pour la détection d'un spin électronique unique</p> <p>1ère année, GQ</p>	
	<p>BARRAL Amaury Ultimate regime of Rayleigh-Benard convection on logarithmic lattices</p> <p>2ème année, SPHYNX</p>	
	<p>CALMELS Brian Électrodynamique des supraconducteurs désordonnés pour le développement de jonctions à saut de phase quantique</p> <p>1ère année, GQ</p>	
	<p>GRAS Romain Swarm of hairs in cats</p> <p>1ère année, SPHYNX</p>	